

Санкт – Петербургский политехнический университет Петра Великого  
Физико-механический институт

Отчет по лабораторной работе №3 по Численным методам  
Решение СЛАУ прямым методом  
Метод вращения

Выполнил студент

Группы 5030301/10002

Тугай В.В.

Преподаватель:

К.Н. Козлов

Санкт-Петербург

2022

### **Исследования, проводимые в ходе работы:**

1. Метод вращения
2. Структура программы
3. Зависимость точности от числа обусловленности
4. Зависимость времени выполнения от числа обусловленности
5. Зависимость относительной погрешности от возмущения

## Вариант 21

### Метод вращения

Ручной расчет для матрицы 3x3

*Метод вращения*

$$A = \begin{pmatrix} 1 & 2 & 3 \\ 3 & 2 & 1 \\ 1 & 4 & 3 \end{pmatrix} \quad B = \begin{pmatrix} 6 \\ 6 \\ 8 \end{pmatrix} \quad X = \begin{pmatrix} 1 \\ 1 \\ 1 \end{pmatrix}$$

$$C_1 = 0,3162 \quad S_1 = 0,9484$$

$$\alpha_{11}^{(1)} = 3,612 \quad \alpha_{12}^{(1)} = 2,53 \quad \alpha_{13}^{(1)} = 1,872$$

$$\alpha_{21}^{(1)} = 0 \quad \alpha_{22}^{(1)} = -1,265 \quad \alpha_{23}^{(1)} = -2,529$$

$$b_1^{(1)} = 4,589 \quad b_2^{(1)} = -3,745$$

$$A = \begin{pmatrix} 3,612 & 2,53 & 1,872 \\ 0 & -1,265 & -2,529 \\ 1 & 4 & 3 \end{pmatrix} \quad B = \begin{pmatrix} 4,589 \\ -3,745 \\ 8 \end{pmatrix}$$

$$C_2 = 0,9953 \quad S_2 = 0,302$$

$$\alpha_{11}^{(2)} = 3,318 \quad \alpha_{12}^{(2)} = 3,618 \quad \alpha_{13}^{(2)} = 2,714$$

$$\alpha_{21}^{(2)} = 0 \quad \alpha_{22}^{(2)} = 3,051 \quad \alpha_{23}^{(2)} = 2,288$$

$$b_1^{(2)} = 9,648 \quad b_2^{(2)} = 5,339$$

$$A = \begin{pmatrix} 3,318 & 3,618 & 2,714 \\ 0 & -1,265 & -2,529 \\ 0 & 3,051 & 2,288 \end{pmatrix} \quad B = \begin{pmatrix} 9,648 \\ -3,295 \\ 5,339 \end{pmatrix}$$

$$A' = \begin{pmatrix} -1,265 & -2,529 \\ 3,051 & 2,288 \end{pmatrix} \quad B' = \begin{pmatrix} -3,295 \\ 5,339 \end{pmatrix}$$

$$C_1' = 0,383 \quad S_1' = 0,924$$

$$\alpha'_{11} = 3,303 \quad \alpha'_{12} = 3,083$$

$$\alpha'_{21} = 0 \quad \alpha'_{22} = 1,461$$

$$b_1' = 6,386 \quad b_2' = 1,461$$

Тогда:  $A = \begin{pmatrix} 3,318 & 3,618 & 2,714 \\ 0 & 3,303 & 3,083 \\ 0 & 0 & 1,461 \end{pmatrix} ; B = \begin{pmatrix} 9,648 \\ 6,386 \\ 1,461 \end{pmatrix}$

$$\kappa_3 = \frac{1,461}{1,461} = 1$$

$$\kappa_2 = \frac{6,386 - 3,083 \cdot 1}{3,303} = 1$$

$$\kappa_1 = \frac{9,648 - 3,618 \cdot 1 - 2,714 \cdot 1}{3,318} = 1$$

$X = \begin{pmatrix} 1 \\ 1 \\ 1 \end{pmatrix}$ , найденный ответ совпадает с известным

## Метод вращения

[illegible]

числа. Умножаем 1-е уравнение системы на  $s_1$ , 2-е на  $s_1$  и складываем их. Этим уравнением заменяем 1-е уравнение системы. Далее 1-е уравнение начальной системы нужно умножить на  $s_1$  2-е – на  $s_1$  и итогом этого заменяем 2-е уравнение. Первые 2

уравнения заменяем на:

$$\begin{aligned} (c_1 a_{11} + s_1 a_{21})x_1 + (c_1 a_{12} + s_1 a_{22})x_2 + \dots + (c_1 a_{1n} + s_1 a_{2n})x_n &= c_1 f_1 + s_1 f_2 \\ (-s_1 a_{11} + c_1 a_{21})x_1 + (-s_1 a_{12} + c_1 a_{22})x_2 + \dots + (-s_1 a_{1n} + c_1 a_{2n})x_n &= -s_1 f_1 + c_1 f_2 \end{aligned}$$

Наложим два условия на  $s_1$  и  $c_1$ :  $-s_1 a_{11} + c_1 a_{21}$  и  $c_1^2 + s_1^2 = 1$ . Отсюда получаем:

$$c_1 = \frac{a_{11}}{\sqrt{a_{11}^2 + a_{21}^2}}, s_1 = \frac{a_{21}}{\sqrt{a_{11}^2 + a_{21}^2}}. \text{ После преобразования получаем систему:}$$

[illegible]

Теперь 1-е уравнение системы заменяем полученным, результатом сложения итогов

умножения 1-го и 3-го уравнений соответственно на:  $c_2 = \frac{a_{11}^{(1)}}{\sqrt{(a_{11}^{(1)})^2 + a_{31}^2}}$ ,  $s_2 = \frac{a_{31}}{\sqrt{(a_{11}^{(1)})^2 + a_{31}^2}}$

а 3-е – уравнением, которое получим после сложения результатов умножения уравнений соответственно на  $-s_1$  и  $c_1$ . После преобразования получаем систему:

$$\left\{ \begin{array}{l} a_{11}^{(2)}x_1 + a_{12}^{(2)}x_2 + \dots + a_{1n}^{(2)}x_n = f_1^{(2)} \\ a_{22}^{(1)}x_2 + \dots + a_{2n}^{(1)}x_n = f_2^{(1)} \\ a_{32}^{(1)}x_2 + \dots + a_{3n}^{(1)}x_n = f_3^{(1)} \\ a_{41}x_1 + a_{42}x_2 + \dots + a_{4n}x_n = f_4 \\ \vdots \\ a_{n1}x_1 + a_{n2}x_2 + \dots + a_{nn}x_n = f_n \end{array} \right., \text{ где } \begin{array}{l} a_{1j}^{(2)} = c_2 a_{1j}^{(1)} + s_2 a_{3j} \quad (j=\overline{1,n}), \quad f_1^{(2)} = c_2 f_1^{(1)} + s_2 f_3 \\ a_{3j}^{(1)} = -s_2 a_{1j}^{(1)} + c_2 a_{3j} \quad (j=\overline{1,n}), \quad f_3^{(1)} = -s_2 f_1 + c_2 f_3 \end{array}$$

[illegible]

[illegible]

В итоге  $m-l$  этапов прямого хода система приведется к треугольному виду:

$$\begin{cases} a_{11}^{(n-1)}x_1 + a_{12}^{(n-1)}x_2 + \dots + a_{1n}^{(n-1)}x_n = f_1^{(n-1)} \\ a_{22}^{(n-2)}x_2 + \dots + a_{2n}^{(n-2)}x_n = f_2^{(n-2)} \\ \vdots \\ a_{nn}^{(1)}x_n = f_n^{(1)} \end{cases}$$

Вычисляем значения неизвестных, начиная с последнего:  $x_n = \frac{f_n^{(1)}}{a_{nn}^{(1)}}$ ,

$$x_i = \frac{f_i^{(n-i)} - (\sum_{k=i+1}^n a_{ik}^{(n-i)} x_k)}{a_{ii}^{(n-i)}};$$

## Структура программы

Программа `matrix.m` нужна для создания файлов, в которых будет записана матрица  $10 \times 10$  с числом обусловленности от 1 до 100000, и в дальнейшем именно эти файлы будет считывать программа `lab3.f95`.

Программа `lab3.f95` состоит из основного тела и двух модулей:

`set_matrix.mod` - модуль, содержащий функции для внесения случайных возмущений в наибольший элемент матрицы, или же в вектор правой части в пределах процента, заданного пользователем.

`method.mod` - модуль, содержащий подпрограмму с реализацией метода, а также функцию для перевода натуральных чисел в строку для более удобной записи данных в файлы, которые будут созданы по окончанию программы.

## Зависимость точности от числа обусловленности

На рисунке 1 изображен график зависимости точности в логарифмических осях от числа обусловленности матрицы  $A$ . Как можно увидеть по рисунку, с увеличением числа обусловленности растет и ошибка, что соответствует представлениям о смысле этой характеристики матрицы.

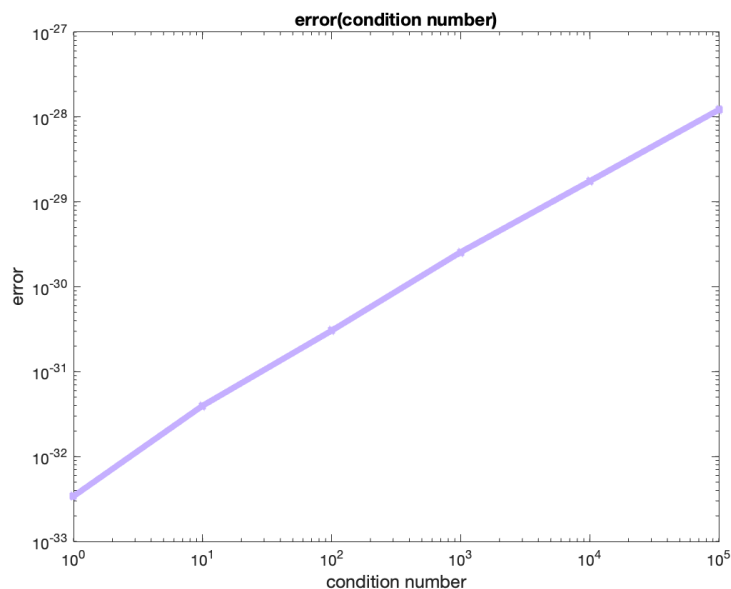


Рисунок 1  
Зависимость точности от  
числа обусловленности

## Зависимость времени выполнения от числа обусловленности

На рисунке 2 изображен график зависимости времени выполнения программы в логарифмических осях от числа обусловленности матрицы  $A$ . Как можно увидеть по рисунку, время уменьшается с увеличением числа обусловленности.

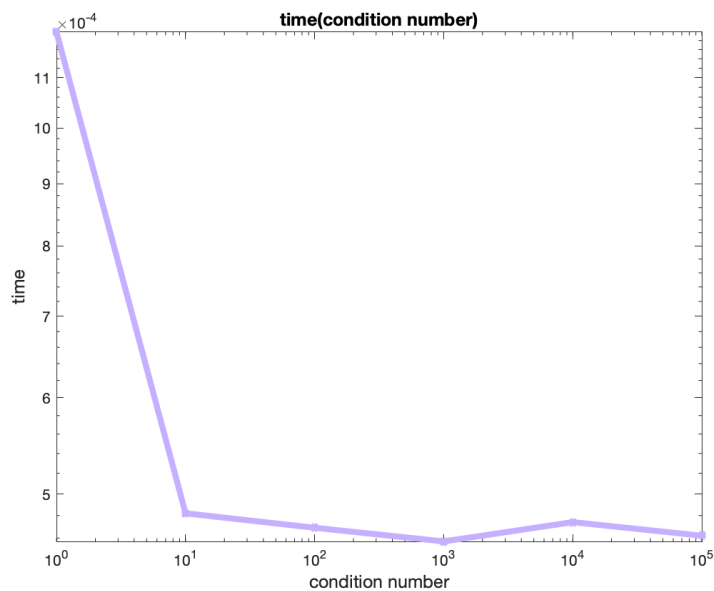


Рисунок 2  
Зависимость времени от  
числа обусловленности

### Зависимость относительной погрешности от возмущения

На рисунках 3–4 изображены графики зависимости относительной погрешности от возмущения наибольшего элемента матрицы  $A$  на рисунке 3, и возмущения вектора  $B$  на рисунке 4. Погрешность для вектора  $B$  самая высокая, но не превышает 45%. Погрешность для матрицы  $A$  не превышает 3,5%.

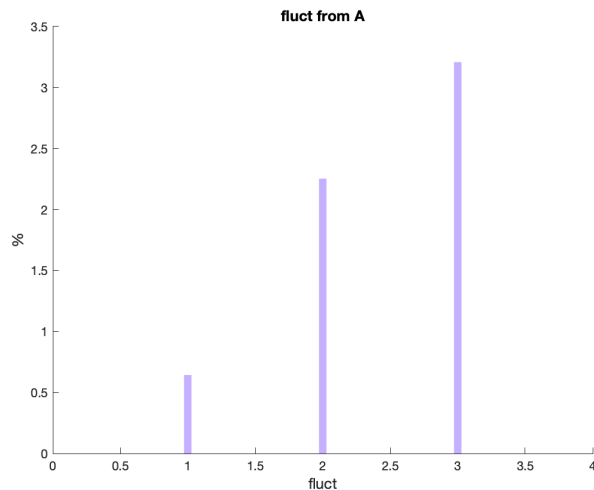


Рисунок 3  
Зависимость относительной погрешности от возмущений для матрицы  $A$

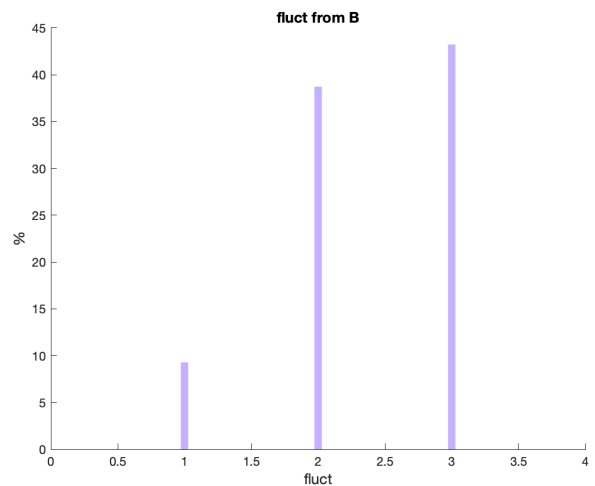


Рисунок 4  
Зависимость относительной погрешности от возмущений для вектора  $B$

### Вывод

В ходе проделанной лабораторной работы нами был исследован метод вращения для решения систем линейных уравнений. Этот метод был реализован на языке Fortran, затем по полученным результатам с помощью пакета Matlab были построены графики зависимостей.